

高等学校教学用书

# 电 机 学

特 殊 部 分

第二册

M. H. 柯斯秦珂著

高等教育出版社

高等学校教学用



电       机       学

特 殊 部 分

第 二 册

M. H. 柯 斯 泰 珂 著  
浙江大学电机教研组译

高等 教育 出 版 社

本書系根据苏联国立动力出版社 (Госэнергиздат) 出版的柯斯泰珂 (М. П. Костенко) 院士著的“电机学, 特殊部分”(Электрические машины — специальная часть) 1949 年版譯出的, 原書經苏联高等教育部审定为动力系及电工系、动力高等学校及电工高等学校用的教学参考書。

本書研究对于許多不同型式的电机而言其本質是共同的复杂过程和运转状态。本書計十四篇, 共五十章。中譯本分三册出版。第二册內容包括交流电机的轨迹理論和等值线路的理論在不对称条件下变压器和交流电机的运行, 电机的过渡状态和同步电机参数的試驗求法四篇。

本書可供上述高等学校电机專業的高年級学生研究电机学特殊部分时之用, 对在电机方面頗求深造的科学工作者和电气工程师也可供参考之用。

本書是由浙江大学电机教研組翻譯, 交通大学电机原理教研組校訂的。

# 电      机      学

特 殊 部 分

第 二 册

---

M. П. 柯 斯 泰 珂 著

浙 江 大 学 电 机 教 研 组 譯

高 等 教 育 出 版 社 出 版 北京宣武門內承恩寺 7 号

(北京市書刊出版委員會准可證出字第 051 号)

京 华 印 書 局 印 刷 新 华 書 店 發 行

---

統一書号 15010·615 四开 787×1092 1/16 印張 15 5/8 字數 357,000 印數 0,001—3,000  
1958 年 5 月第 1 版 1958 年 5 月北京第 1 次印刷 定價 (10) 1.40

# 主要符号

$A$	发热量	$M_j$	动力矩; 惯性力矩
$b$	电纳	$M_{\max}$	最大转矩
$C$	电容	$M_N$	额定转矩
$E_0$	零序电势	$M_s$	起动转矩
$E_1$	顺序电势	$m_t$	轴上反抗力矩
$E_2$	逆序电势	$P_d$	动态功率
$E_m$	磁极磁通所感电势	$P_N$	额定功率
$E_d$	纵轴电势分量	$P_P$	有功功率
$E_f$	激磁电路电势	$P_Cu$	铜耗
$E_h$	剩磁电势	$P_f$	涡流损耗
$E_i$	同步电机的内电势	$P_h$	磁滞损耗
$E_m$	正弦电势的振幅	$P_r$	通风机械损耗
$E_q$	横轴电势分量	$R_a, R_d$	电枢电路电阻
$e_b$	剩磁所生电势的初值	$R_f$	激磁电路电阻
$F_d$	定子绕组磁势的纵轴分量	$r_d$	副电路折合后的电阻
$F_q$	定子绕组磁势的横轴分量	$r_a$	电枢绕组电阻
$f_n$	自由振荡频率	$r_o$	阻尼绕组电阻
$G D^2$	飞轮力矩	$r'_d$	纵轴超瞬变电阻
$g$	重力加速度	$r'_q$	横轴超瞬变电阻
$g$	电导	$r_m$	激磁支路等效电阻
$I_0$	零序电流	$S_e$	阻尼绕组漏感系数
$I_1$	顺序电流	$S_d$	转子绕组短路时定子绕组的等效自感系数
$I_{an}$	短路时定子电流的非周期性分量的初值	$S_d'$	阻尼和激磁绕组短路时定子绕组的等效自感系数
$I_b$	激磁电流	$S_f$	转子绕组漏感系数
$I_c$	阻尼绕组中的电流	$S_g$	定子绕组漏感系数
$I_d$	纵轴电流	$S_m$	相当于最大转矩时的转差率
$I_d'$	定子瞬变电流的初始有效值	$T$	时间常数
$I_d''$	定子超瞬变电流的初始有效值	$T_d$	定子电流非周期性分量的衰减时间常数
$I_f$	激磁电流	$T_d'$	短路电流瞬变分量的时间常数
$I_q$	横轴电流	$T_d''$	短路电流超瞬变分量的时间常数
$I_z$	中线电流	$T_{do}$	定子绕组开路时激磁绕组的时间常数
$i_d$	定子电流纵轴分量	$T_f$	激磁电路的时间常数
$i_s$	定子周期性瞬变电流	$U_a$	负载电压
$i_u$	磁化电流	$U_c$	电枢电压
$J$	惯性力矩	$U_f$	激磁绕组端电压
$k_e$	放大机电压放大系数	$U_0$	零序电压
$k_i$	放大机电流放大系数	$U_1$	顺序电压
$L_1$	每相绕轴自感系数	$U_2$	逆序电压
● $L_c$	阻尼绕组自感系数	$U_A, U_B, U_C$	外施原边相电压
$L_f$	激磁绕组自感系数	$U_a, U_b, U_c$	副边相电压
$M_d$	振荡时所生阻尼转矩	$X$	等效电抗
$M_{df}$	定子和转子绕组间互感系数	$X_f$	激磁绕组电抗
$M_{fc}$	激磁和阻尼绕组间互感系数		

$X_k$ —短路电抗	$\delta$ —电动机转矩的不均匀系数
$x_1$ —顺序电抗	$\theta$ —同步电机的电压对磁极磁通所生电势的相位移角,或即同步电机的负载角
$x_2$ —逆序电抗	$\theta_c$ —同步旋转系统的位差角
$x_a$ —定子和转子绕组的互感抗	$\lambda_u$ —激磁支路的磁导
$x_c$ —阻尼绕组漏电抗	$\xi$ —导体的折合高度
$x_p$ —包金叶感抗	$\xi_e$ —等效阻抗
$y$ —导纳	$\sigma$ —等值线路的折合系数
$ z $ —阻抗模数	$\tau$ —海朗氏漏磁系数
$z_0, z_1, z_2$ —零序、顺序和逆序阻抗	$\Phi_0$ —空载磁通
$z'_d$ —纵轴瞬变阻抗	$\Phi_s$ —绕组漏磁通
$z'_q$ —横轴瞬变阻抗	$\psi$ —初相角
$z''_d$ —纵轴超瞬变阻抗	$\psi$ —磁链
$z''_q$ —横轴超瞬变阻抗	$\Omega_c$ —同步角速率
$\alpha$ —对称分量法中三相系统的运算子	
$\beta$ —转子绕组轴线相对于定子绕组轴线的旋转角度	

## 第二册目录

主要符号 .....	▼
------------	---

### 第五編 交流电机的軌迹理論和等值線路理論

第十四章 軌迹和等值線路的一般理論基础 .....	167
§ 63. 交流电机軌迹理論的主要說明 .....	167
§ 64. 异步电机与异步系統的等值線路的变换法 .....	173
第十五章 同步电机的圓圖 .....	179
§ 65. 隐極同步电机的圓圖 .....	179
§ 66. 凸極同步电机的圓圖 .....	184
第十六章 具有恒定参数的异步电机的圓圖 .....	186
§ 67. 总述 .....	186
§ 68. 作者的准确圓圖 .....	187
§ 69. 根据反演法画出的准确圓圖 .....	189
§ 70. 作者的較准确圓圖 .....	190
§ 71. 海朗圓圖 .....	191
§ 72. 根据实验数据以画圓圖 .....	193
第十七章 有可变参数的异步电动机的电流圖 .....	194
§ 73. 双鼠籠电动机的电流圖 .....	194
§ 74. 深槽电动机的电流圖 .....	199
§ 75. 根据实验数据画双鼠籠电动机和深槽电动机的圓圖 .....	202
第十八章 調速异步电动机的电流圖 .....	203
§ 76. 异步电动机串級连接时的等值線路和圓圖 .....	203
§ 77. 極数可变的三相异步电动机的圓圖 .....	208
§ 78. 利用改变频率以调节速率的异步电动机的圓圖 .....	210
§ 79. 双馈电动机的圓圖 .....	213
§ 80. 三相同步旋转的感应系统的圓圖 .....	215
第十九章 單相异步电动机的等值線路和圓圖 .....	221
§ 81. 概論 .....	221
§ 82. 單相异步电动机的圓圖 .....	222
第二十章 多相并激整流子电机的圓圖 .....	225
§ 83. 多相并激整流子电机的一般运行方程式 .....	225
§ 84. 多相并激整流子电机中的漏磁通 .....	230
§ 85. 轉子励磁的三相并激整流子电动机的圓圖 .....	231
§ 86. 三相异步补偿电动机的圓圖 .....	233
第二十一章 交流串激整流子电动机的圓圖 .....	236
§ 87. 概論 .....	236
§ 88. 單相串激整流子电动机的圓圖 .....	237
§ 89. 三相串激整流子电动机的圓圖 .....	238
第二十二章 多相异步电机与整流子电机的串級連接的圓圖 .....	242
§ 90. 概論 .....	242
§ 91. 异步电机与純由轉子激磁的相位补偿器串級連接的圓圖 .....	243
§ 92. 异步电动机与变频机串級連接时的圓圖 .....	246
§ 93. 异步电机与由轉子激磁的补偿整流子电机串級連接时的圓圖 .....	248
§ 94. 异步电机与由定子激磁的补偿整流子电机串級連接时的圓圖 .....	248

### 第六編 在不对称条件下变压器和交流电机的运行

第二十三章 变压器和电机不对称工作条件的分析方法 .....	252
§ 95. 对称分量法用于电机和变压器 .....	252
§ 96. 三相变压器的逆序和零序阻抗 .....	260
§ 97. 同步电机的逆序和零序阻抗 .....	261
§ 98. 理想的多相和單相同步电机的方程式 .....	264
第二十四章 三相变压器的不对称負載 .....	273
§ 99. 無中綫时变压器的不对称負載 .....	273
§ 100. 有中綫时变压器的不对称負載 .....	275
第二十五章 三相同步發电机的不对称运行状态 .....	278
§ 101. 三相同步發电机的不对称短路 .....	278
§ 102. 三相同步發电机不对称运行时的电压矢量圖 .....	281
§ 103. 同步發电机在磁路饱和的情况下稳定短路时短路三角形的作法 .....	285
第二十六章 三相异步电动机的不对称运行 .....	286
§ 104. 三相异步电动机当端电压不对称时的工作状态 .....	286
§ 105. 三相异步电动机在單相線路上的工作状态 .....	287
§ 106. 三相异步电动机当原电路阻抗不对称时的工作状态 .....	287
§ 107. 当副电路内阻抗不对称时三相异步电动机的工作状态 .....	289
§ 108. 單相轉子的三相异步电动机 .....	292
§ 109. 异步电容电动机 .....	294

## 第七編 电机的过渡状态

<b>第二十七章 电机的自激</b>	298	<b>§125. 概論</b>	343
§110. 直流發电机的自激	298	§126. 激磁电路端电压的突然变化	344
§111. 在电容性負載下同步發电机的自激	302	§127. 定子繞組的突然短路	346
§112. 异步电机与容电器并联运用时的自激	304	§128. 短路断开后电压的恢复	349
§113. 多相整流子电机的自激	305	§129. 沿縱軸具有两个轉子电路的同步电机的突然 短路	349
§114. 电机放大器(放大机)的过渡状态与自激	309	<b>§130. 縱軸和橫軸磁导不等的多相同步电机的突然     短路</b>	353
<b>第二十八章 直流电机的过渡状态</b>	315	<b>§131. 定子繞組电阻对突然短路周期性电流分量的衰     減時間常數的影响</b>	354
§115. 直流电动机的無变阻器起动	315	<b>§132. 負載对突然短路過程的影响</b>	356
§116. 并激直流發电机突然短路时的过渡过程	319	<b>§133. 三相同步电机突然短路时定子和轉子电流的完     全方程式</b>	358
§117. 直流并激和复激电动机在运行时的振蕩	328	<b>§134. 突然短路电流有效值的方程式</b>	360
§118. 由复激發电机供电的他激电动机在运行时的 振蕩	331	<b>§135. 突然短路时激磁繞組的电流</b>	362
§119. 串激电动机由串激發电机供电在运行时的 振蕩	333	<b>§136. 在突然短路时强行励磁的效应</b>	363
§120. 用非綫性微分方程的近似解法对直流电机过渡 状态的分析	334	<b>§137. 同步电机的突然不对称短路</b>	364
<b>第二十九章 异步电动机接电时的过渡状态</b>	337	<b>§138. 三相同步电机的典型的参数</b>	366
§121. 副电路短路的、不动的异步电动机的接电	337	<b>§139. 冲击同步發电机的过渡状态</b>	367
§122. 副电路开路的、不动的异步电动机的接电	339	<b>第三十一章 多相同步电机的异步运行</b>	375
§123. 异步电动机起动时的起动過程	340	<b>§140. 多相同步电机异步运行时的方程式</b>	375
§124. 副电路短路的、旋转的异步电动机的接电	342	<b>§141. 同步电动机的异步起动</b>	378
<b>第三十章 同步电机突然短路时的过渡状态</b>	343	<b>§142. 同步电机的自由振蕩</b>	379

## 第八編 同步电机参数的試驗求法

<b>第三十二章 在稳定运行情况下基本参数的     測定</b>	382	<b>§146. 零序阻抗的測定</b>	393
§143. 概論	382	<b>第三十三章 过渡状态基本参数的測定</b>	398
§144. 顺序阻抗的測定	382	§147. 縱軸与橫軸超瞬变阻抗的靜止測定法	398
§145. 逆序阻抗的測定	384	§148. 測定过渡状态参数的示波器法	401
		§149. 饱和对过渡状态参数的影响	405

## 第五編 交流电机的軌迹理論和等值線路理論

### 第十四章 軌迹和等值線路的一般理論基礎

#### § 63. 交流电机軌迹理論的主要說明

[参考文献 26, 342, 359, 384, 416]

当电机連續經過不同的运行状态时，它的原电流矢量末端的轨迹可以用来很好地研究交流电机的特性。分析以符号形式表示的曲綫方程式<sup>①</sup>，是研究一系列轨迹的很方便和簡單的方法。

讓我們現在來研究最簡單的轨迹的方程式。

a) 直綫和圓 假如  $\dot{B}$  为一复数，表示某一矢量，而  $p$  为实参数。具有在極限  $\pm \infty$  間的任意值，则乘积  $\dot{B}p$  代表和  $\dot{B}$  及  $-\dot{B}$  方向相同的所有的矢量。因此，通过坐标原点并与已給矢量  $\pm \dot{B}$  同方向的直綫方程式，有下列形式

$$\dot{U} = \dot{B}p. \quad (272)$$

如果在矢量  $\dot{B}$  上加以矢量  $\dot{A}$  (圖 186, a)，則通过矢量  $\dot{A}$  的端点并与矢量  $\dot{B}$  平行的直綫的方程式有下列形式

$$\dot{U} = \dot{B}p + \dot{A}. \quad (273)$$

如果矢量  $\dot{A}$  和  $\dot{B}$  的方向相同或方向相反，則在某一参数值  $p = p_0$  时乘积  $\dot{B}p_0$  和矢量  $\dot{A}$  相等而方向相反，因此

$$\dot{U} = \dot{B}p + \dot{A} = \dot{B}p - \dot{B}p_0 = \dot{B}(p - p_0). \quad (274)$$

用(274)式表示的直綫和用(272)式表示的直綫方向相同但有另一計算参数  $p$  的原点(圖 186, b)。

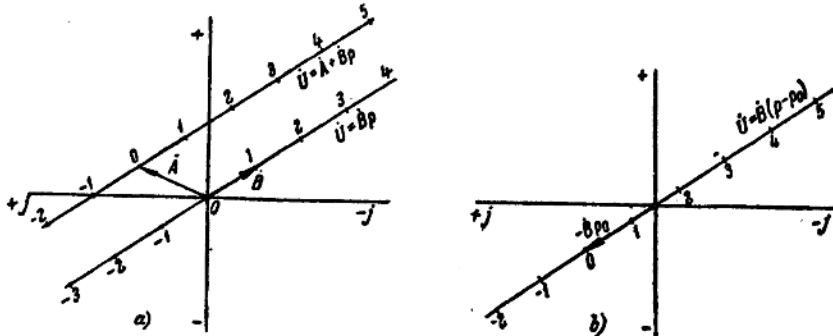


圖 186. 复数平面上的直綫。

當將直綫

$$\dot{U} = \dot{C} + \dot{D}p \quad (275)$$

① “以符号形式表示的”即“用复数表示的”——譯者注。

对于复数平面的坐标原点反演时,直线上用复数式矢量

$$\dot{G} = G e^{j\beta}$$

表示的每一点必须加以反演。每一反演过的矢量在选定的反演度  $k$  之下等于

$$\dot{G}' = \frac{k}{\dot{G}} = \frac{k}{G e^{j\beta}} = \frac{k}{G} e^{-j\beta} = \left(\frac{k}{G^2}\right) \cdot G e^{-j\beta} = \left(\frac{k}{G^2}\right)^* \dot{G},$$

即,等于其轭矢量  $\dot{G}^*$ ,除以  $G^2$  并乘以反演度  $k$ ,  $k$  可以是实数或复数。

在将(273)式表示的直线对于不在该直线上的一点作反演时,可得到通过这一点的圆。由此可知,通过坐标原点的圆的方程式具有下列形式:

$$\dot{U} = \frac{1}{\dot{C} + \dot{D}p}. \quad (276)$$

为了画出(276)式表示的圆,应当首先作出直线  $\dot{U} + \dot{D}p$  对实数轴的镜像,然后对镜像直线进行通常的反演(图 187, a)。镜像直线,根据一般的反演定则,是和通过坐标原点( $p = \pm\infty$ )的圆周的切线平行的。

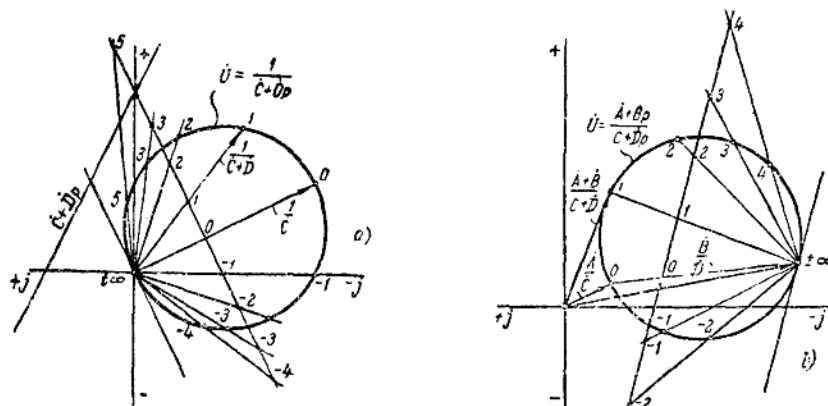


图 187. 复数平面上的圆。

具有形式

$$\dot{U} = \frac{\dot{E}}{\dot{C} + \dot{D}p} \quad (277)$$

的方程式也表示通过复数平面原点的圆。该圆的中心矢量应乘以  $\dot{E}$  的模数,并对于(276)式所表示的圆的中心矢量转过了一个角度,此角度等于复数  $\dot{E}$  的幅角。如果将原点移过一个用复数  $\dot{F}$  表示的恒定线段,则可获得不通过坐标原点的圆的方程式的一般形式(图 187, b)

$$\dot{U} = \dot{F} + \frac{\dot{E}}{\dot{C} + \dot{D}p} = \frac{\dot{A} + \dot{B}p}{\dot{C} + \dot{D}p}, \quad (278)$$

其中  $\dot{A} = \dot{C}\dot{F} + \dot{E}$ ,  $\dot{B} = \dot{F}\dot{D}$ 。当  $p = 0$  时可得

$$\dot{U}_0 = \frac{\dot{A}}{\dot{C}},$$

當  $p = \pm\infty$  時，得

$$\dot{U}_\infty = \frac{\dot{B}}{D} = \dot{F},$$

而當  $p=1$  時，得

$$\dot{U}_1 = \frac{\dot{A} + \dot{B}}{\dot{C} + \dot{D}}.$$

圓的方程式也可用另一形式表示

$$\dot{U} = \dot{M} + \dot{R}e^{j\theta}, \quad (279)$$

其中  $\dot{M}$  表示圓的中心矢量（圖 188）， $\dot{R}e^{j\theta}$  表示圓的半徑矢量，又  $\theta$  表示在界限  $0^\circ$  到  $360^\circ$  之間變動的變角。當  $\theta=0$  時，圓的半徑矢量和矢量  $\dot{R}$  重合。

(278) 和 (279) 式中各複數系數之間的關係可用下列方法求出：兩個共軛複數的商也是一個複數，它的模數等於 1，幅角為原來的 2 倍。如果

$$\overset{*}{A} = a + jb = A e^{j\theta}, \quad (280)$$

則  $\overset{*}{A} = a - jb = A e^{-j\theta} \quad (281)$

又

$$\frac{\overset{*}{A}}{A} = e^{j2\theta}. \quad (282)$$

由此可得相反的推論，複數  $e^{j\theta}$  可表示成兩個複數的商的形式，此二複數分別由關係式 (280) 和 (281) 確定。

將 (279) 式中的乘數  $e^{j\theta}$  用兩個共軛複數的商來表示

$$e^{j\theta} = \frac{\overset{*}{C} + \overset{*}{D}p}{\overset{*}{C} + \overset{*}{D}p}. \quad (283)$$

于是從 (278) 式和 (279) 式可得

$$\dot{U} = \frac{\dot{A} + \dot{B}p}{\dot{C} + \dot{D}p} = \frac{\dot{M}(\overset{*}{C} + \overset{*}{D}p) + \dot{R}(\overset{*}{C} + \overset{*}{D}p)}{\dot{C} + \dot{D}p} = \frac{(\dot{M}\overset{*}{C} + \dot{R}\overset{*}{C}) + (\dot{M}\overset{*}{D} + \dot{R}\overset{*}{D})p}{\dot{C} + \dot{D}p},$$

從而

$$\left. \begin{aligned} \dot{A} &= \dot{M}\overset{*}{C} + \dot{R}\overset{*}{C}, \\ \dot{B} &= \dot{M}\overset{*}{D} + \dot{R}\overset{*}{D}, \end{aligned} \right\} \quad (284)$$

因此

$$\dot{M} = \frac{\dot{A}\overset{*}{D} - \dot{B}\overset{*}{C}}{\dot{C}\overset{*}{D} - \dot{D}\overset{*}{C}} \quad (285)$$

又

$$\dot{R} = \frac{\dot{B}\overset{*}{C} - \dot{A}\overset{*}{D}}{\dot{C}\overset{*}{D} - \dot{D}\overset{*}{C}}. \quad (286)$$

如果將複數的展開式

$$\dot{A} = a_1 + ja_2, \dot{B} = b_1 + jb_2, \dot{C} = c_1 + jc_2, \dot{D} = d_1 + jd_2$$

代入 (285) 式中並分開實數和虛數部分，則圓心的坐標

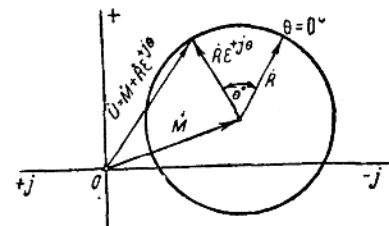


圖 188. 在任意位置的圓。

$$\dot{M} = x_m + jy_m$$

可由下式决定:

$$x_m = \frac{a_1 d_2 - a_2 d_1 - b_1 c_2 + b_2 c_1}{2(c_1 d_2 - c_2 d_1)}, \quad (287)$$

$$y_m = \frac{a_1 d_1 + a_2 d_2 - b_1 c_1 - b_2 c_2}{2(c_1 d_2 - c_2 d_1)}. \quad (288)$$

同样,当 $\theta=0$ 时的半徑矢量可用坐标 $x_r$ 和 $y_r$ 表示:

$$x_r = \frac{a_1 d_2 + a_2 d_1 - b_1 c_2 - b_2 c_1}{2(c_1 d_2 - c_2 d_1)}, \quad (289)$$

$$y_r = -\frac{a_1 d_1 - a_2 d_2 - b_1 c_1 + b_2 c_2}{2(c_1 d_2 - c_2 d_1)}. \quad (290)$$

用可变角参数 $\theta$ 的函数所表示的圆的方程式,也可有下列形式,  $\theta$ 变化在 $0^\circ$ 到 $360^\circ$ 的范围内,

$$\dot{U} = \frac{\dot{A} + \dot{B}e^{j\theta}}{\dot{C} + \dot{D}e^{j\theta}}. \quad (291)$$

实际上,如果根据(283)式以

$$e^{j\theta} = \frac{\dot{E} + \dot{F}p}{\dot{E} + \dot{F}p},$$

代入上式内,则可得到圆的方程式

$$\dot{U} = \frac{\dot{H} + \dot{K}p}{\dot{L} + \dot{N}p},$$

其中  $\dot{H} = \dot{A}\dot{E} + \dot{B}\dot{F}$ ,  $\dot{K} = \dot{A}\dot{F} + \dot{B}\dot{E}$ ,  $\dot{L} = \dot{C}\dot{E} + \dot{D}\dot{F}$  又  $\dot{N} = \dot{C}\dot{F} + \dot{D}\dot{E}$ .

6) 圆的参数标綫 正如上面所确立的,当反演(275)式表示的直线时,可得到(276)式所表示的圆。为了作出此圆,应当首先在复数平面上画出 $\dot{U}$ (图 189),然后画出它对实数轴的镜像,然后进行这一直线的反演。如果在 $\dot{U}$ 的镜像直线上注出参数 $p$ 的数值,将坐标原点 $0$ ( $p=\pm\infty$ )和直线上相当于参数 $p$ 的一定数值的一点用直线连起来,我们在该直线和圆周的交点上得到有

同样 $p$ 值的点。显然,在这些直线和所有其余与镜像平行的直线的交点上,可得到同样的参数 $p$ 的分布。参数的标綫在一般場合中可画在与 $p=\pm\infty$ 处的切綫平行的任意直线上。如果已知在圆周上用来决定参数值的两点,例如 $p=0$ 和 $p=1$ 的两点,于是,将它们和 $p=\pm\infty$ 点连接,我们在此直线上可得到一个线段,相当于这两选定点的参数值之差,此后即可注出所有参数 $p$ 的标度,其中相当于 $p=+\infty$ 和 $p=-\infty$ 的两点将位于 $p$ 标綫的相反方向的无穷远处。

b) 高阶的曲綫 在交流电的理论中,用下式

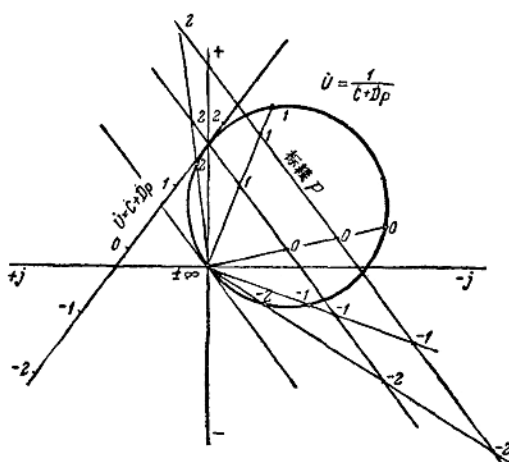


圖 189. 圆的参数标綫的作法。

$$\dot{U} = \frac{\dot{A} + \dot{B}p + \dot{C}p^2}{\dot{D} + \dot{E}p + \dot{F}p^2} \quad (292)$$

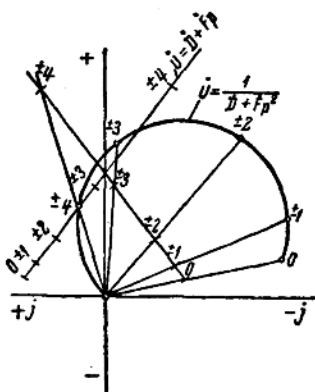


圖 190. 双迴曲綫的画法。

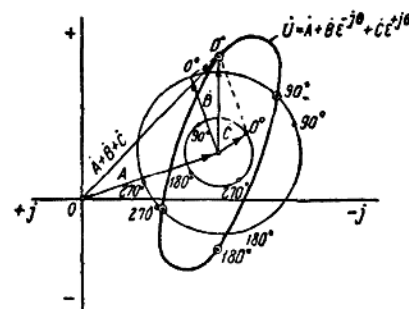


圖 191. 橢圓的画法。

表示的四阶双迴曲綫是具有意义的。表示圆周有限部分的参数  $p$  具有兩重符号的双迴曲綫，是具有最实际的意义。在此情况下(292)式中的常数  $\dot{B}$  和  $\dot{E}$  等于零，

$$\dot{U} = \frac{\dot{A} + \dot{C}p^2}{\dot{D} + \dot{F}p^2}. \quad (293)$$

此曲綫的每一点相当于二个数值相等而符号相反的参数值  $p$ 。

当常数  $\dot{C}$  和  $\dot{F}$  趋近于零时，(292)式将接近圆的方程式(278)。

在圖 190 中繪出当  $A=1$  及  $C=0$  时的双迴曲綫。

① 最簡單的高阶曲綫 椭圓。椭圓的方程式可以用两个圆的方程式表示，这两个圆有公共圆心和不同的直径，当  $\theta$  角改变时半径向不同方向移动(圖 191)：

$$\dot{U} = \dot{A} + \dot{B}e^{-i\theta} + \dot{C}e^{i\theta}. \quad (294)$$

椭圓的長軸等于  $B+C$ ，而短軸等于  $B-C$ 。

当复系数  $\dot{B}$  和  $\dot{C}$  的模数相等时，我們有  $C=B$  及  $\dot{C}=\dot{B}e^{i\alpha}$ ，則椭圓的方程式变为有限的直綫段的方程式，在此直线上有参数  $\theta$  的双重标度(圖 192)：

$$\dot{U} = \dot{A} + \dot{B}[e^{-i\theta} + e^{i(\theta+\alpha)}], \quad (295)$$

因在此情况下，短轴  $B-C=0$ 。

与此相似，正如两个具有式(279)形式的复数的商是一个具有式(291)形式的圆的方程式，两个具有式(294)形式的复数的商是一个椭圓方程式：

$$\dot{U} = \frac{\dot{A} + \dot{B}e^{i\theta} + \dot{C}e^{-i\theta}}{\dot{D} + \dot{E}e^{i\theta} + \dot{F}e^{-i\theta}}. \quad (296)$$

当  $\dot{C}=\dot{B}e^{-i\alpha}$  及  $\dot{F}=\dot{E}e^{i\beta}$  时，椭圓方程式(296)变为有参数的双重标度的有限直綫段的方程式：

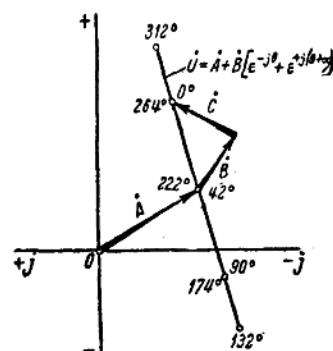


圖 192. 椭圓的特例，有限的直綫段的画法。

$$\dot{U} = \frac{\dot{A} + \dot{B}(e^{+j\theta} + e^{-j(\theta+\alpha)})}{D + E(e^{+j\theta} + e^{-j(\theta+\beta)})} \quad (297)$$

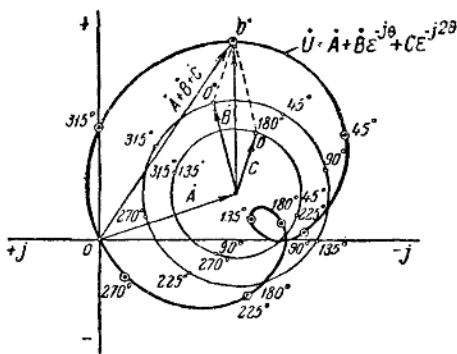


图 193. 巴斯克尔蜗壳的画法。

方程式

$$\dot{U}' = \dot{A} + \dot{B}p + \dot{C}p^2 \quad (300)$$

表示半直綫，从矢量  $\dot{A}$  的端点出发向矢量  $\dot{U}'$  的方向伸延。 $p^2$  的标度是二次的，因此对于正的和负的  $p$  得到同一个  $\dot{U}'$  值。因为根据(299)式，必须在矢量  $\dot{U}'$  上加以矢量  $\dot{B}p$  来得到矢量  $\dot{U}$ ，所以每一  $\dot{U}'$  值对应着两个绝对值相等而方向相反的矢量  $\pm \dot{B}p$ 。

在图 194 中繪出了在各种不同的参数  $p$  值之下(299)式的曲线的画法，从圖可見，这个根据抛物线的直径和与直径相应的弦而繪制抛物线的方法是众所周知的。

双曲綫 形式为

$$\dot{U} = \dot{A} + \dot{B}p + \dot{C}p^{-1} \quad (301)$$

的方程式是表示双曲綫的方程式(图 195)。实际上，如果采取矢量  $\dot{B}$  和  $\dot{C}$  为斜坐标系統，则在此情况下現行的坐标可用下列方程式表示：

$$x = Bp,$$

$$y = Cp^{-1}$$

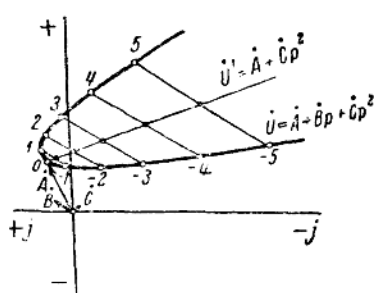


图 194. 抛物线的画法。

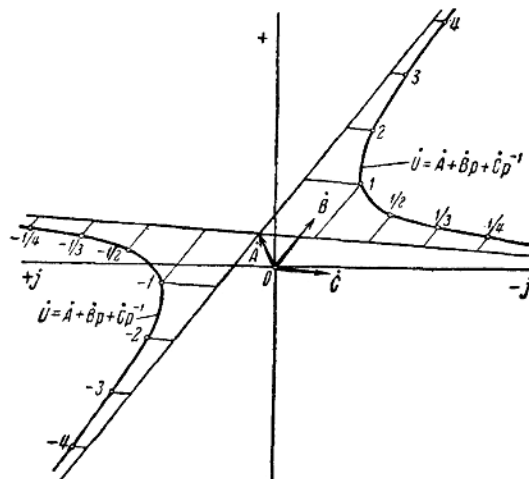


图 195. 双曲綫的画法。

**巴斯克尔蜗壳綫** 如果从公共的中心画两个直径不同而半径矢量向相同方向旋转的圆，并且一个圆的半径矢量较另一圆的半径矢量转速快一倍，如将这样得到的矢量几何地相加，即获得所謂巴斯克尔蜗壳綫的曲綫(图 193)。根据巴斯克尔曲綫作圖法的定义可知它的方程式可用下列形式表示：

$$\dot{U} = \dot{A} + \dot{B}e^{-j\theta} + \dot{C}e^{-j2\theta}, \quad (298)$$

抛物綫 形式为

$$\dot{U} = \dot{A} + \dot{B}p + \dot{C}p^2 \quad (299)$$

的方程式表示抛物綫，关于这点可以很容易地證明。

或

$$xy = BC = \text{常数},$$

后一方程式为以其漸近綫为坐标軸的双曲綫方程式。

### § 64. 异步电机与异步系統<sup>①</sup> 的等值線路的变换法

[参考文献 316, 329, 400, 1079]

a) 概論 在研究根据异步系統等值線路画成的圓圖时，等值線路的变换具有重大的意义，它使分析简化。

这些系統的等值線路包括通过工作电流的主电路元件，以及可以通过激磁电流，也可以通过工作电流的支路。当异步类型系統的軸上力矩增加或减小时，将产生轉差率  $s$  的变化，这种变化也影响到对应电路的感抗的数值。

用于分析的最簡單的線路是串联的电抗和电阻，这些阻抗和轉差率  $s$  成一次方的关系。因此，如果等值線路的某种变换能使具有与  $s$  有关的参数的主电路同支路分离开来，而且又能使支路变成与  $s$  無关，则这样的变换将具有重大的意义。

6) 激磁支路移至綫端 圖 196 表示应用于异步电机的变压器的完全等值線路。其中  $z'_2 = \frac{r'_2}{s} + jx'_2$ ，因此当轉差率  $s$  变化时，不仅主电路中的电流变更，而支路中的电流也要变更。

我們可以作出激磁支路被移至綫端的等值線路(圖 197)，在从原电路吸收的有功和無功电流分量以及功率方面看，这線路和基本电路是等值的。然而其中的支路电流和轉差率  $s$  無关，因此  $s$  变化时支路电流保持不变。

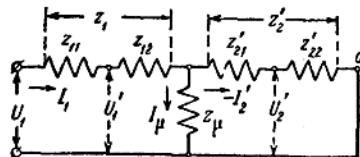


圖 196. 异步电机的等值線路。

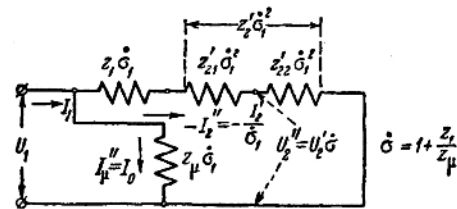


圖 197. 变换后的异步电机的等值線路，其中激磁支路被移至綫端。

我們將求出变换后的線路中的主电路电流  $-I_2''$ (圖 197)，这电流等于基本線路(圖 196)中主电路电流  $I_1$  及空载电流  $I_0$  的几何差。得：

$$I_1 = \frac{\dot{U}_1}{z_1 + \frac{z'_2 z_\mu}{z'_2 + z_\mu}} = \dot{U}_1 \frac{z'_2 + z_\mu}{z_1 z'_2 + z_1 z_\mu + z'_2 z_\mu}, \quad (302)$$

$$I_0 = \frac{\dot{U}_1}{z_1 + z_\mu} = \frac{\dot{U}_1}{z_\mu \left(1 + \frac{z_1}{z_\mu}\right)} = \frac{\dot{U}_1}{z_\mu \sigma_1} = \frac{\dot{U}_1}{z''_\mu}, \quad (303)$$

<sup>①</sup> 凡在稳定工作状态下，其軸上力矩变化时其机械轉速变化很少的交流电机，以及它們的机群組合均属于异步系統。属于这种系統的有各种型式的异步电动机，多相并激整流子电动机以及这些电动机的許多种不同組合方式的串級連接。

$$\begin{aligned} -I''_2 &= I_1 - I_0 = \dot{U}_1 \left( \frac{z'_2 + z_u}{z_1 z'_2 + z_1 z_u + z'_2 z_u} - \frac{1}{z_1 + z_u} \right) = \dot{U}_1 \frac{z_u^2}{(z_1 + z_u)(z_1 z'_2 + z_1 z_u + z'_2 z_u)} = \\ &= \frac{\dot{U}_1}{z_1 \left( 1 + \frac{z_1}{z_u} \right) + z'_2 \left( 1 + \frac{z_1}{z_u} \right)^2} = \frac{\dot{U}_1}{z_1 \dot{\sigma}_1 + z'_2 \dot{\sigma}_1^2} = \frac{\dot{U}_1}{z''_1 + z''_2}, \end{aligned} \quad (304)$$

式中

$$\left. \begin{array}{l} \dot{\sigma}_1 = 1 + \frac{z_1}{z_u}, \\ z''_1 = z_1 \dot{\sigma}_1, \\ z''_2 = z'_2 \dot{\sigma}_1^2, \\ z''_u = z_u \dot{\sigma}_1. \end{array} \right\} \quad (305)$$

基本线路(圖 196)中支路以后的主电路中的电流等于

$$\begin{aligned} -I'_2 &= \frac{\dot{U}_1 - I_1 z_1}{z'_2} = \frac{\dot{U}_1}{z'_2} \left[ 1 - \frac{(z'_2 + z_u) z_1}{z_1 z'_2 + z_1 z_u + z'_2 z_u} \right] = \\ &= \frac{\dot{U}_1}{z_1 + z'_2 \left( 1 + \frac{z_1}{z_u} \right)} = \frac{\dot{U}_1}{z_1 + z'_2 \dot{\sigma}_1} = \frac{\dot{U}_1 \dot{\sigma}_1}{z''_1 + z''_2}. \end{aligned} \quad (306)$$

于是电流比将为

$$\frac{I'_2}{I''_2} = 1 + \frac{z_1}{z_u} = \dot{\sigma}_1. \quad (307)$$

在异步电机的等值线路(圖 196)中我們有

$$z'_2 = \frac{r'_2}{s} + jx'_2.$$

当空载时, 即相当于轉差率  $s=0$  时, 主电路的副边等值阻抗将为  $z'_2 \dot{\sigma}_1^2 = \infty$ , 因此主电路电流  $I''_2 = 0$  而对应的原电流  $I_1 = I_0$ 。因此变换过的电路的空载电流和基本电路的空载电流相等。

校正系数  $\dot{\sigma}_1$  变更原边和副边电路的主要参数  $z_1$  和  $z'_2$  的大小和相位角, 而和轉差率  $s$  无关, 因此研究变换过的线路較为容易。

和基本电路(圖 196)比較, 变换过的电路(圖 197)的巨大优点在于它完全符合于异步电机的圆圖(圖 198), 因为这一电路使我們能求到电流矢量  $I_1$ ,  $I_0$  和  $-I''_2$ , 这些矢量也能在圓圖中直接得到。在基本电路(圖 196)中主电路内通过电流  $-I'_2$ , 这电流就不能从圓圖中直接求得而仅在借助于某些附加变换时才能求出。

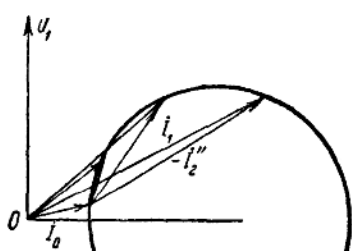


圖 198. 对应于圖 197 的等值线路的异步电机的圆圖。

校正系数  $\dot{\sigma}_1$  等于

$$\dot{\sigma}_1 = 1 + \frac{z_1}{z_u} \approx \left( 1 + \frac{x_1}{x_u} \right) - j \frac{r_1}{x_u} = \sigma_1 - j \frac{r_1}{x_u}. \quad (307a)$$

由于在大多数情况下比值  $\frac{r_1}{x_u}$  很小, 于是可略去  $\dot{\sigma}_1$  的虚数部分而仅考虑其实数部分, 等于

$$\sigma_1 = 1 + \frac{x_1}{x_u}. \quad (307b)$$

上述基本等值線路(圖 196)的變換在極限  $\pm\infty$  間的任意  $s$  數值時都是可行的。變換的線路的某種缺點就是它僅提供直接求出電流  $-I''_2$  和  $I_0$  的可能性，而為了求得原邊電流還需要把電流  $I_0$  和  $-I''_2$  几何地相加：

$$I_1 = I_0 + (-I''_2).$$

由於電流  $I_0$  當  $\dot{U}_1 = \text{常數}$  時是不變的，於是決定不同  $s$  數值下的電流  $I_1$ ，以及相應地求出  $-I''_2$  的不同數值，就沒有什麼困難了。

b) 激磁支路的部分移出 現在我們研究一種把激磁支路移到介於線端和激磁支路結點間的位置上去的方法(圖 199)。在這情況下支路兩端的電壓等於

$$\dot{U}'_1 = \dot{U}_1 - I_1 z_{11},$$

同時相應地在(302), (303), (304)和(306)諸式中必須用  $\dot{U}'_1$  代替  $\dot{U}_1$ 。這樣：

$$I_1 = (\dot{U}_1 - I_1 z_{11}) \cdot \frac{z'_2 + z_\mu}{z_{12} z'_2 + z_{12} z_\mu + z'_2 z_\mu}, \quad (308)$$

$$I_0 = \frac{\dot{U}_1 - I_1 z_{11}}{z_{12} + z_\mu} = \frac{\dot{U}_1 - I_1 z_{11}}{z''_\mu}, \quad (309)$$

$$-I''_2 = \frac{\dot{U}_1 - I_1 z_{11}}{z_{12} \sigma'_{12} + z'_2 \sigma'_{12}} = \frac{\dot{U}_1 - I_1 z_{11}}{z'_{12} + z''_2}, \quad (310)$$

$$-I'_2 = \frac{\dot{U}_1 - I_1 z_{11}}{z_{12} + z'_2 \sigma'_{12}} = \frac{\dot{U}_1 - I_1 z_{11}}{z_{12} + z''_2}, \quad (311)$$

式中

$$\sigma'_{12} = 1 + \frac{z_{12}}{z_\mu},$$

$$z''_{12} = z_{12} \sigma'_{12},$$

$$z''_2 = z'_2 \sigma'^2_{12},$$

$$z''_\mu = z_\mu \sigma'_{12}.$$

激磁支路不僅可向原線端移近，而且也可從那裡移遠。變換過的電路的參數可用下列從圖 199 电路化成圖 196 电路的倒逆程序的方法獲得，在此情況下(圖 200)：

$$\left. \begin{aligned} \sigma'_{21} &= 1 + \frac{z'_{21}}{z_\mu}, \\ z''_{21} &= \frac{z'_{21}}{\sigma'_{21}}, \\ z''_{22} &= \frac{z'_{22}}{\sigma'_{21}}, \\ z'_\mu &= \frac{z_\mu}{\sigma'_{21}}, \\ -I''_2 &= -I'_2 \sigma'_{21}, \\ \dot{U}''_2 &= \frac{\dot{U}'_2}{\sigma'_{21}}. \end{aligned} \right\} \quad (312)$$

最后,如果在图 196 的线路中将激磁支路的上端移至阻抗  $z'_2$  后的  $d$  点, 则变换过的线路变成两个串接的阻抗, 图 201, 而激磁支路被短接因此可以不加考虑。在此情况下图 196 的全部电路的等值阻抗等于

$$z_u = z_1 + \frac{1}{\frac{1}{z'_2} + \frac{1}{z''_2}} = z_1 + \frac{z'_2}{1 + \frac{z'_2}{z''_2}} = z_1 + \frac{z'_2}{\sigma'_2} = z_1 + z''_2, \quad (313)$$

式中

$$\sigma'_2 = 1 + \frac{z'_2}{z''_2}$$

又

$$z''_2 = \frac{z'_2}{\sigma'_2}.$$

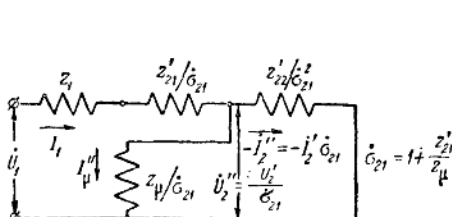


图 200. 当激磁支路从原线端部分移远时异步电机的变换过的等值线路。

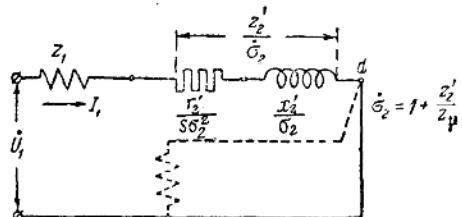


图 201. 将激磁支路移至副边短接电路端的变换过的等值线路。

如果略去激磁支路阻抗  $z_u$  中的有功分量  $r_u$  (图 201), 则

$$\sigma'_2 = 1 + \frac{z'_2}{jx_u} = 1 + \frac{\frac{r'_2}{s} + jx'_2}{jx_u} = \left(1 + \frac{x'_2}{x_u}\right) - j\frac{s}{x_u} = \sigma_2 - j\frac{r'_2}{sx_u}, \quad (314)$$

从上式可得

$$\frac{z'_2}{\sigma'_2} = \frac{\frac{r'_2}{s} + jx'_2}{\left(1 + \frac{x'_2}{x_u}\right) - j\frac{s}{x_u}} = \frac{\left(\frac{r'_2}{s} + jx'_2\right)}{\left(1 + \frac{x'_2}{x_u}\right)^2 + \left(\frac{s}{x_u}\right)^2} \cdot \frac{\frac{r'_2}{s}}{\left(\frac{r'_2}{s}\right)^2 + \left(\frac{s}{x_u}\right)^2}. \quad (315)$$

如转差率  $s$  如此之大, 以至于可略去分子中的  $\left(\frac{r'_2}{s}\right)^2$  项以及分母中的  $\left(\frac{s}{x_u}\right)^2$  项, 则

$$z''_2 = \frac{z'_2}{\sigma'_2} \approx \frac{s}{\sigma'_2} + j\frac{x'_2}{\sigma'_2}, \quad (316)$$

式中

$$\sigma'_2 = 1 + \frac{x'_2}{x_u}. \quad (317)$$

当轴上转矩变化而转差率  $s$  不经过等于或很接近于零的数值(空载或额定负载)的情况下将  $z'_2$  和  $z_u$  并入  $z''_2$  中是适宜的, 因为在这些情况中  $\sigma'_2$  和转差率  $s$  有重大的关系, 当  $s=0$  时  $\sigma'_2$  成为无穷大。当  $s$  和零相差颇远时, 尤其当制动负载时  $s>1$ , 这种变换较之将激磁支路移至线端是有卓越的优点的。